

01

Векторная модель Гейзенберга–Дирака–ван-Флека для одномерной антиферромагнитной цепочки локализованных $S = 1$ спинов

© Ф.Е. Орленко,¹ Г.Г. Зегря,¹ Е.В. Орленко¹

¹ Санкт-Петербургский государственный политехнический университет,
195251 Санкт-Петербург, Россия
e-mail: fadler@mail.ru

² Физико-технический институт им. А.Ф. Иоффе РАН,
194021 Санкт-Петербург, Россия

(Поступило в Редакцию 17 мая 2011 г.)

Исследованы магнитные свойства анизотропных кристаллов с локализованными спинами $S = 1$, для которых выводится гамильтониан в форме Гейзенберга–Дирака–ван-Флека, включающий в себя наряду с билинейными членами биквадратные вклады. Энергия основного состояния антиферромагнитной цепочки $S = 1$ спинов рассчитана в модели ближайших соседей, константа взаимодействия перенормируется по методу ренормгрупп при укрупнении системы. Получен температурный критерий возникновения дальнего порядка в системе. Возбуждения данной цепочки в линейном приближении имеют отличную от антиферромагнетиков с половинным спином дисперсионную зависимость и отделены энергетической щелью от основного состояния. Учет нелинейных вкладов приводит к образованию уединенной волны, имеющей форму dark-bright-солитона.

Введение

Интерес к одномерным цепочкам ионов со спинами $S = 1$ возник давно, начиная с известных работ Халдана [1,2], в которых было высказано предположение о том, что полный спин всей цепочки проявляет себя в основном состоянии как экспоненциально спадающая спин-спиновая корреляция и в отличие от цепочки $1/2$ -спинов цепочки спин-1 имеют спектр возбуждений, отделенный от основного состояния энергетической щелью, что вызывает принципиально иное их поведение в критической точке. Это так называемое „предположение Халдана“ сегодня получило надежные подтверждения в многочисленных работах, посвященных критическим явлениям в спин-1-цепочках [1–5]. Одноионная анизотропия с соответствующим проявлением магнитных свойств существует во многих соединениях, например в CsNiCl_3 (слабая аксиальная анизотропия), $\text{NENP} [\text{Ni}(\text{C}_2\text{H}_8\text{N}_2)_2 \text{NO}_2\text{ClO}_4]$ (слабая аксиальная анизотропия), CsFeBr_3 , $\text{NENC} [\text{Ni}(\text{C}_2\text{H}_8\text{N}_2)_2\text{Ni}(\text{CN})_4]$ и $\text{DTN} [\text{NiCl}_2-4\text{SC}(\text{NH}_2)_2]$ (сильная планарная анизотропия [3]), которые могли бы стать объектами для экспериментальной проверки получаемых результатов теории критических явлений в системах с „большим“ спином.

В работах Халдана [1,2] исследовались одномерные цепочки ионов со спинами $S = 1$, где в континуальном приближении описывалась динамика системы так называемых „больших“ (т.е. отличных от $1/2$) спинов в одномерном антиферромагнетике. В полуклассическом приближении было найдено солитонное решение для возбуждений, анализировались также промежуточные фазы путем излучения расширенной $S = 1$ -модели резонирующих валентных связей с учетом биквадратного члена в обменном взаимодействии (квадрат от ска-

лярного произведения операторов спина двух ионов). При этом использовался модельный гамильтониан с неопределенным коэффициентом

$$H_{\text{AKLT}} = J \sum_i [(\hat{\mathbf{s}}_i \hat{\mathbf{s}}_{i+1}) + \beta (\hat{\mathbf{s}}_i \hat{\mathbf{s}}_{i+1})^2].$$

Авторы работы [4] показали, что гамильтониан допускает существование решений при значении коэффициента $\beta = 1/3$, в этом случае основное состояние представляет собой устойчивую простую валентную связь (VBS), которое отделено от возбуждений щелью. Так как основное состояние при $\beta = 0$ (как было показано в работе Халдана [2]) проявляет струнную корреляцию дальнего порядка и адиабатически связано с состоянием $\beta = 1/3$, то в работе Шольвека [5] делается заключение о том, что фаза Халдана носит VBS-характер. Интерес к фазам Халдана, проявляющим линейную корреляцию дальнего порядка, проявился в работах [6–9], посвященным холодным атомным системам, в которых также исследуется линейный порядок.

Анализируя возбужденное состояние над основным неелевским для цепочек ионов, Нийс и Роммельз [10] интерпретировали спин-1-цепочку как газ псевдочастиц со спином $1/2$, попарно занимающих состояния с $S_{iz} = \pm 1$ путем комбинации проекций псевдоспинов $S \sim iz = \pm 1/2$, а состояние с $S_{iz} = 0$ полагалось как заселенное дыркой. Ситуация напоминает спин-зарядовое разделение в одномерной фермионной системе, где легирование дырками приводит к образованию „холонов“ и „спинов“. При использовании этой модели в работе [10] численным путем были получены фазовые диаграммы переходов вблизи критической точки с разными возможными сценариями развития событий, напрямую зависящими от соотношения коэффициентов в исходном гамильтониане. Утверждается, что основное состояние

одномерных магнитных спин-1-систем является дважды вырожденным с аксиальным неелевским упорядочением, топологические солитонные возбуждения являются подвижными доменными стенками, разделяющими две возможные конфигурации, соответствующие основному состоянию. Все разнообразие фаз, возникающих в спин-1-цепочке, напрямую связано со значениями коэффициентов при билинейном и биквадратном членах в гамильтониане обменного взаимодействия, записанном в спиновом представлении. Таким образом, знание точного вида гамильтониана, описывающего поведение спин-1-системы, является принципиальным моментом решения всей проблемы статистического описания систем с „большим“ спином и анализа критических явлений, происходящих в таких системах. Например, в работе [9] получено, что свободный коэффициент β в гамильтониане, описывающем магнитное состояние спин-1-бозе-газа, может принимать только одно единственное значение $\beta = 1$.

В настоящей работе покажем, что система частиц с произвольным (отличным от $1/2$) спином может быть описана в спиновом представлении непосредственно, исходя из первых принципов [11]. Внесем существенные добавления в выражения для основного состояния антиферромагнитной $S = 1$ -цепочки по сравнению с [12], связанные с последовательным использованием метода ренормгрупп [13], а также получим аналитические выражения для возбуждений, которые могут носить как линейный, так и нелинейный характер. Мы покажем возможность формирования dark-bright-магнитного солитона.

1. Гамильтониан обменного взаимодействия цепочки локализованных $S = 1$ -спинов

В простейшем случае цепочки ионов с парным взаимодействием ближайших соседей гамильтониан может быть записан как

$$\hat{H}_{\text{int}} = \sum_i (K_{i,i+1} + A_{i,i+1} \hat{P}_{s_i, s_{i+1}}), \quad (1)$$

где $K_{i,i+1}$ — прямое кулоновское, $A_{i,i+1}$ — обменное взаимодействие соседних узлов i и $i + 1$, а оператор четности перестановки $\hat{P}_{s_i, s_{i+1}}$ при действии на вектор состояния в пространстве спинов имеет собственное значение ± 1 в соответствии с симметрией состояния указанной пары соседей (в [12] приведено последовательное изложение теории магнитного упорядочения в системах частиц со спином, отличным от $1/2$). Поскольку симметрия спинового состояния пары частиц определяется симметрией коэффициентов Клебша–Гордана и оказывается связана с величиной полного спина пары, то явный вид оператора четности $\hat{P}_{s_i, s_{i+1}}$ можно найти

из условия

$$\hat{P}_{s_1, s_2} |S, S_z; s_1, s_2\rangle = (-1)^S |S, S_z; s_1, s_2\rangle. \quad (2)$$

Здесь s_1, s_2 — спины 1-й и 2-й частиц, в нашем случае $s_1 = s_2 = 1$, а S, S_z — величины суммарного спина пары и его проекции на ось. Аналогично работам [11,12] будем искать явный вид оператора четности в виде полинома

$$\hat{P}_{s_1, s_2} = c_{2s} (\hat{s}_1 \hat{s}_2)^{2s} + c_{2s-1} (\hat{s}_1 \hat{s}_2)^{2s-1} + \dots + c_1 (\hat{s}_1 \hat{s}_2) + c_0, \quad (3)$$

где число свободных коэффициентов не может превышать количество собственных значений оператора квадрата суммарного спина, в нашем случае суммарный спин принимает три значения $S = 2, 1, 0$. Тогда оператор четности имеет вид

$$\hat{P}_{s_1, s_2} = (\hat{s}_1 \hat{s}_2)^2 + (\hat{s}_1 \hat{s}_2) - 1, \quad (4)$$

а гамильтониан всей цепочки спинов в отличие от гамильтониана Гейзенберга будет содержать наряду с билинейным еще и биквадратный член от скалярного произведения операторов спина и иметь противоположный знак перед константой обменного взаимодействия

$$\hat{H}_{\text{int}} = \sum_i [K_{i,i+1} + A_{i,i+1} \{(\hat{s}_i \hat{s}_{i+1})^2 + \hat{s}_i \hat{s}_{i+1} - 1\}]. \quad (5)$$

Такой вид гамильтониана обуславливает появление нелинейных решений для возбужденных состояний.

2. Основное состояние антиферромагнитной цепочки

Гамильтониан (5) может быть переписан в форме, где операторы скалярных произведений спинов соседних ионов будут заменены операторами квадрата суммарного спина этой же пары. Обменный вклад в энергию от каждой пары $E_{i,i+1}^{\text{exc}}$ запишется в виде

$$E_{i,i+1}^{\text{exc}} = A_{i,i+1} \left\{ \left(\frac{1}{2} (S(S+1) - 2s(s+1)) \right)^2 + \frac{1}{2} (S(S+1) - 2s(s+1) - 1) \right\}. \quad (6)$$

Будем считать величину суммарного спина пары плавно меняющейся переменной, тогда удобно перейти к новой, непрерывно меняющейся переменной x так, что

$$x = \frac{1}{2} (S(S+1) - 2s(s+1)), \quad (7)$$

где x находится в интервале $[-2, 1]$.

Тогда выражение для обменной энергии пары может быть записано как функция x

$$E_{i,i+1}^{\text{exc}}(x) = A_{i,i+1} (x^2 + x - 1). \quad (8)$$

Функция $E_{i,i+1}^{\text{exc}}(x)$ имеет минимум в точке $x = -0.5$, которая соответствовала бы спину пары $S = 1.3$, что лежит близко к физически реальному значению $S = 1$, которое соответствует антисимметричному состоянию для каждой пары спинов.

Тогда полный гамильтониан обменного взаимодействия (5) цепочки спинов можно представить в виде ряда

$$\hat{H}_{\text{int}} \approx K \frac{N}{2} + \sum_{i=1, N/2} A_{i,i+1} \langle \bullet_i \bullet_{i+1} \rangle + \sum_{q=1, N/4} A_{q,q+1}^{(1)} \langle \langle \bullet \bullet \rangle_q \langle \bullet \bullet \rangle_{q+1} \rangle + \dots, \quad (9)$$

где символически обозначены операторы обменного взаимодействия $A_{i,i+1} \langle \bullet_i \bullet_{i+1} \rangle = A_{i,i+1} \{ (\hat{\mathbf{s}}_i \hat{\mathbf{s}}_{i+1})^2 + \hat{\mathbf{s}}_i \hat{\mathbf{s}}_{i+1} - 1 \}$ пары соседних ионов; двух пар — $A_{q,q+1}^{(1)} \langle \langle \bullet \bullet \rangle_q \langle \bullet \bullet \rangle_{q+1} \rangle = A_{q,q+1}^{(1)} \{ (\hat{\mathbf{s}}_q \hat{\mathbf{s}}_{q+1})^2 + \hat{\mathbf{s}}_q \hat{\mathbf{s}}_{q+1} - 1 \}$ с перенормированной константой $A_{q,q+1}^{(1)}$ обменного взаимодействия и суммарными спинами пары $\hat{\mathbf{s}}_{q=\frac{i+1}{2}} = \hat{\mathbf{s}}_i + \hat{\mathbf{s}}_{i+1}$ и $\hat{\mathbf{s}}_{q+1=\frac{i+3}{2}} = \hat{\mathbf{s}}_{i+2} + \hat{\mathbf{s}}_{i+3}$ и т.д. Энергия основного состояния находится с помощью метода последовательных приближений с учетом блочной структуры гамильтониана. При этом наиболее низким состоянием, соответствующим минимальной энергии в паре блоков, является антисимметричное состояние с суммарным спином пары $S = 1$. Таким образом, значение суммарного спина Σ всей цепочки, состоящей из N ионов, будет равен $\Sigma = 1$, что соответствует удельной намагниченности системы, приходящейся на одну частицу $M/N = \frac{g\Sigma}{N} \rightarrow 0$, и относится к антиферромагнитному. Полная энергия при этом будет иметь следующий вид:

$$E_{\text{int}} \approx K \frac{N}{2} + \frac{N}{2} \left(-\frac{1}{2} \right) \left(A^0 + \frac{A^{(1)}}{2} + \dots + \frac{A^{(v)}}{2^v} \right). \quad (10)$$

Полагая, что константа обменного взаимодействия $A^{(k)}$ при каждом последующем k -ом шаге перенормировки связана с константой $A^{(k-1)}$ предыдущего шага $k-1$ как

$$A^{(k)} \approx A^{(k-1)} \xi, \quad (11)$$

где ξ — постоянная ренормализации. Тогда энергия, приходящаяся на один ион основного состояния антиферромагнитной цепочки бесконечной длины, будет стремиться к значению

$$\begin{aligned} \frac{E_{\text{int}}}{N} &\approx \frac{K}{2} + \frac{1}{2} \left(-\frac{1}{2} \right) \sum_v \frac{A^{(v)}}{2^v} = \frac{1}{2} \left(K - A^{(0)} \sum_v \frac{\xi^v}{2^v} \right) \\ &= \left(\frac{1}{2} K - A^{(0)} \frac{1}{2 - \xi} \right). \end{aligned} \quad (12)$$

Таким образом, обменное взаимодействие в цепочке обеспечивает эффект дальнего порядка при выполнении

условия $\xi \rightarrow 2$ и приводит к установлению антиферромагнитного состояния.

Спиновый вектор основного состояния антиферромагнитной цепочки может быть получен в явном виде. Антисимметричные спиновые состояния для системы 2^v -частиц могут быть записаны в виде

$$\begin{aligned} |A\rangle^{(v)} &= \frac{1}{\sqrt{2}} \det \begin{bmatrix} |A\rangle^{(v-1)} & |A\rangle^{(v-1)} \\ |B\rangle^{(v-1)} & |B\rangle^{(v-1)} \end{bmatrix}, \\ |B\rangle^{(v)} &= \frac{1}{\sqrt{2}} \det \begin{bmatrix} |A\rangle^{(v-1)} & |A\rangle^{(v-1)} \\ |\Gamma\rangle^{(v-1)} & |\Gamma\rangle^{(v-1)} \end{bmatrix}, \\ |\Gamma\rangle^{(v)} &= \frac{1}{\sqrt{2}} \det \begin{bmatrix} |\Gamma\rangle^{(v-1)} & |\Gamma\rangle^{(v-1)} \\ |B\rangle^{(v-1)} & |B\rangle^{(v-1)} \end{bmatrix}, \end{aligned} \quad (13)$$

где векторы $|A\rangle$, $|B\rangle$, $|\Gamma\rangle$ соответствуют состояниям системы 2^v -частиц с полным спином $\Sigma = 1$ и соответствующими проекциями полного спина 1, 0, -1 ; верхний индекс v над этими векторами означает номер итерации при укрупнении системы.

3. Коэффициент ренормализации

Следуя методу ренормгрупп [13], запишем статистическую сумму в виде

$$\begin{aligned} Z &= \sum_{\sigma_{1,2}=0}^2 \sum_{\sigma_{3,4}=0}^2 \dots \sum_{\sigma_{N-1,N}=0}^2 \exp \left(-\frac{A}{T} P(\widehat{\mathbf{s}}_1 \widehat{\mathbf{s}}_2) \right) \\ &\times \exp \left(-\frac{A}{T} P(\widehat{\mathbf{s}}_3 \widehat{\mathbf{s}}_4) \right) \dots \exp \left(-\frac{A}{T} P(\widehat{\mathbf{s}}_{N-1} \widehat{\mathbf{s}}_N) \right) \\ &= \sum_{\sigma_{1,2}+\sigma_{3,4}} \sum_{\sigma_{5,6}+\sigma_{7,8}} \dots \sum f \left(\frac{A^{(1)}}{T} \right) \exp \left(-\frac{A^{(1)}}{T} P(\widehat{\boldsymbol{\sigma}}_{1,2} \widehat{\boldsymbol{\sigma}}_{3,4}) \right) \\ &\times f \left(\frac{A^{(1)}}{T} \right) \exp \left(-\frac{A^{(1)}}{T} P(\widehat{\boldsymbol{\sigma}}_{3,6} \widehat{\boldsymbol{\sigma}}_{7,8}) \right) \dots \end{aligned}$$

Здесь $\widehat{\boldsymbol{\sigma}}_{1,2}$ и $\widehat{\boldsymbol{\sigma}}_{3,4}$ — операторы суммарных спинов пары частиц 1, 2 и 3, 4 соответственно, функция $f \left(\frac{A^{(1)}}{T} \right)$ не должна зависеть от значений спинов $\sigma_{1,2}$ и $\sigma_{3,4}$. Условие

$$\begin{aligned} \exp \left(-\frac{A}{T} (\widehat{P}(\widehat{\mathbf{s}}_1 \widehat{\mathbf{s}}_2) + \widehat{P}(\widehat{\mathbf{s}}_3 \widehat{\mathbf{s}}_4)) \right) &= f \left(\frac{A^{(1)}}{T} \right) \\ &\times \exp \left(-\frac{A^{(1)}}{T} (\widehat{P}(\widehat{\boldsymbol{\sigma}}_{1,2} \widehat{\boldsymbol{\sigma}}_{3,4})) \right) \end{aligned} \quad (14)$$

должно выполняться при всех возможных значениях $\sigma_{3,4}$. Собственные значения операторов $\widehat{P}(\widehat{\mathbf{s}}_1 \widehat{\mathbf{s}}_2)$, как было показано выше, равны: $\widehat{P}(\widehat{\mathbf{s}}_1 \widehat{\mathbf{s}}_2)|_{\sigma_{1,2}=1} = -1$ и $\widehat{P}(\widehat{\mathbf{s}}_1 \widehat{\mathbf{s}}_2)|_{\sigma_{1,2}=0} = \widehat{P}(\widehat{\mathbf{s}}_1 \widehat{\mathbf{s}}_2)|_{\sigma_{1,2}=2} = 1$.

Тогда условие (14) можно переписать для различных спиновых конфигураций (см. таблицу).

Собственные значения оператора перестановки для различных значений суммарного спина

$\sigma_{1,2,3,4}$	$\overline{\sigma_{1,2}\sigma_{3,4}}$	$P(\overline{\sigma_{1,2}\sigma_{3,4}})$
1	-3	5
2	-1	-1
3	2	5

1) Пусть $\sigma_{1,2} = \sigma_{3,4} = 1$, тогда

$$\left(e^{\frac{A}{T}(1+1)}\right) = f\left(\frac{A^{(1)}}{T}\right)\left(e^{\frac{A^{(1)}}{T}} + e^{-\frac{A^{(1)}}{T}}\right); \quad (15)$$

2) Пусть $\sigma_{1,2} \neq \sigma_{3,4}$, тогда

a) $\sigma_{1,2} = 1, \sigma_{3,4} = 0, \Rightarrow \sigma_{1,2,3,4} = 1, \overline{\sigma_{1,2}\sigma_{3,4}} = 0, P(\overline{\sigma_{1,2}\sigma_{3,4}}) = -1;$

b) $\sigma_{1,2} = 1, \sigma_{3,4} = 2 \Rightarrow \sigma_{1,2,3,4} = 1, 2, 3; \overline{\sigma_{1,2}\sigma_{3,4}} = -3, -1, 2; P(\overline{\sigma_{1,2}\sigma_{3,4}}) = 5, -1, 5.$

Тогда соотношение (14) будет иметь вид

$$2 = f(A^{(1)}/T)\left(e^{\frac{-5A^{(1)}}{T}} + e^{\frac{A^{(1)}}{T}} + e^{\frac{-5A^{(1)}}{T}} + e^{\frac{A^{(1)}}{T}}\right) = 4f(A^{(1)}/T) \operatorname{ch}\left(3\frac{A}{T}\right) e^{\frac{-2A^{(1)}}{T}}. \quad (16)$$

Таким образом, имеем систему уравнений (15) и (16). Из уравнения (16) находим функцию $f(A^{(1)}/T) = \frac{e^{\frac{2A^{(1)}}{T}}}{2 \operatorname{ch}\left(3\frac{A^{(1)}}{T}\right)}$ и получаем уравнение для нахождения коэффициента ренормализации

$$2 \operatorname{ch}\left(\frac{2A}{T}\right) = \frac{2 \operatorname{ch}\left(\frac{A^{(1)}}{T}\right)}{2 \operatorname{ch}\left(3\frac{A^{(1)}}{T}\right)} e^{\frac{2A^{(1)}}{T}}. \quad (17)$$

Решение уравнения (17) дает следующее соотношение „старой“ и „новой“ констант связи:

$$\left(\frac{A^{(1)}}{T}\right) = x' = \frac{1}{2} \ln\left\{\frac{1 \pm \sqrt{1 - 4(e^{2x} - 1)}}{2(e^{2x} - 1)}\right\}; \quad x = \frac{A}{T}. \quad (18)$$

В пределах области существования решений $x = \frac{A}{T} \in [0, \ln(5/4)/2]$ и соответствующей ей области значений $x' = \frac{A^{(1)}}{T} \in [0, \ln(2)/2]$ имеет два вида решений (рис. 1, 2):

$$1) \left(\frac{A^{(1)}}{T}\right)_1 = x'_1 = \frac{1}{2} \ln\left\{\frac{1 - \sqrt{1 - 4(e^{2x} - 1)}}{2(e^{2x} - 1)}\right\};$$

$$2) \left(\frac{A^{(1)}}{T}\right)_2 = x'_2 = \frac{1}{2} \ln\left\{\frac{1 + \sqrt{1 - 4(e^{2x} - 1)}}{2(e^{2x} - 1)}\right\}.$$

Второе решение должно быть отброшено, поскольку означало бы наличие бесконечно больших корреляций в пределе высоких температур ($x \rightarrow 0$). Для предельно допустимых значений x и x' коэффициент ренормализации может достигать значения $\xi = A^{(1)}/A = x'/x = \ln(2)/\ln(5/4) \approx 3.1$. Из рис. 1 хорошо видно, что при определенной температуре ($T^* \approx \frac{A}{0.075k_B}$, где k_B — константа Больцмана) коэффициент ренормализации $\xi \rightarrow 2$, что в соответствии с (12) означает переход в антиферромагнитное состояние с возникновением дальнего порядка.

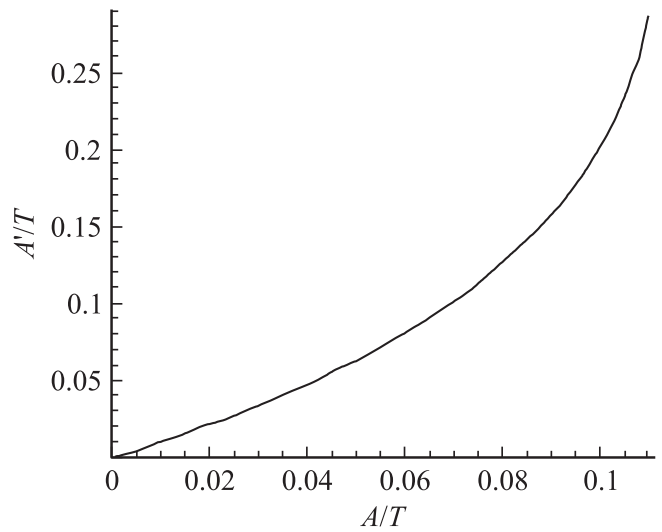


Рис. 1. Зависимость перенормированной константы обменного взаимодействия от исходной с учетом температуры. Коэффициент ренормализации будет определяться как тангенс угла наклона касательной к указанной кривой при заданной температуре.

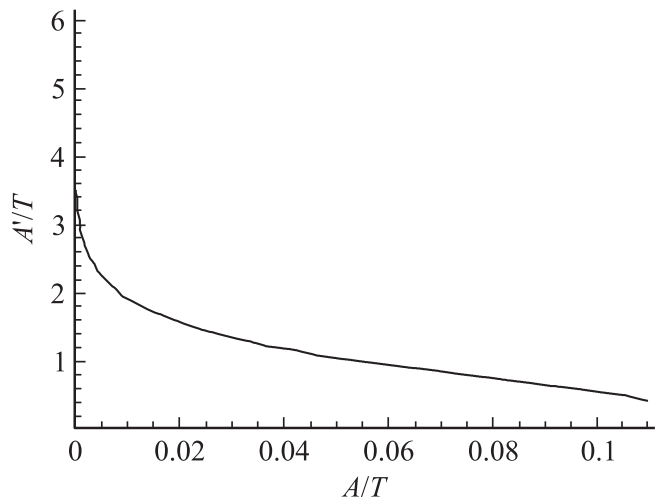


Рис. 2. Второе решение (17), которое должно быть отброшено.

4. Спиновые волны и спиновой dark-bright-солитон в цепочке $s = 1$ спинов

Основное состояние этой системы — антиферромагнитное, тогда в приближении взаимодействия с ближайшими соседями будем считать, что спин пары атомов $S = 1$, и собственное значение оператора $\widehat{s}_i \widehat{s}_{i+1}$ равно $\widehat{s}_i \widehat{s}_{i+1} = -1$.

Пусть один спин под номером k из цепочки атомов переброшен. Тогда оператор энергии возбуждения можно записать в виде

$$\widehat{V} = \widehat{H}_{\text{int}} - E_0 = A \left\{ \widehat{\mathbf{s}}_{k-1} \widehat{\mathbf{s}}_k + \widehat{\mathbf{s}}_k \widehat{\mathbf{s}}_{k+1} + (\widehat{\mathbf{s}}_{k-1} \widehat{\mathbf{s}}_k)^2 + (\widehat{\mathbf{s}}_k \widehat{\mathbf{s}}_{k+1})^2 - 2((-1)^2 s_k^2 + (-1)^2 s_k^4) \right\}, \quad (19)$$

где $E_0 = A \sum_i ((-1)^2 s_i^4 + (-1)^2 s_i^2 - 1)$ соответствует энергии основного состояния в нулевом (парном) приближении.

В полуклассическом континуальном приближении собственные значения механических моментов ионов могут быть представлены в виде непрерывной функции расстояния от иона. Тогда вектор спина узла $k \pm 1$ может быть записан в виде

$$\mathbf{s}_{k \pm 1} = \mathbf{s}_k \pm b \frac{\partial \mathbf{s}_k}{\partial x} + \frac{b^2}{2} \frac{\partial^2 \mathbf{s}_k}{\partial x^2}. \quad (20)$$

В этом выражении b — по-прежнему постоянная решетка. После подстановки выражения (20) в (19) в полуклассическом приближении с учетом замены операторов спина на их векторные функции получим для энергии возбуждения V выражение

$$V = 2A \left\{ s_k^2 \left(2 + b^2 \left(\frac{\partial \mathbf{s}_k}{\partial x} \right)^2 + \frac{b^4}{4} \left(\frac{\partial^2 \mathbf{s}_k}{\partial x^2} \right)^2 \right) + \frac{b^2}{2} (1 + 2s_k^2) \mathbf{s}_k \frac{\partial^2 \mathbf{s}_k}{\partial x^2} \right\}. \quad (21)$$

С другой стороны, в приближении среднего эффективного поля H^* , образованного всей совокупностью магнитных моментов переброшенных спинов, энергия возбуждения будет записываться как энергия взаимодействия каждого собственного магнитного момента с этим полем:

$$V = -g \mathbf{s}_k \mathbf{H}^*, \quad (22)$$

где g — фактор Ланде, умноженный на магнетон Бора.

Тогда в соответствии с теоремой Блоха собственный магнитный момент каждого иона будет прецессировать в эффективном магнитном поле как

$$\frac{\partial \mathbf{m}}{\partial t} = \gamma (\mathbf{H}^* \times \mathbf{m}), \quad \gamma = \frac{e}{Mc}, \quad (23)$$

тогда как явное выражение для напряженности поля имеет следующий вид:

$$\mathbf{H}^* = \frac{-A}{g} \left\{ s_k \left(2 + b^2 \left(\frac{\partial \mathbf{s}_k}{\partial x} \right)^2 + \frac{b^4}{4} \left(\frac{\partial^2 \mathbf{s}_k}{\partial x^2} \right)^2 \right) + \frac{b^2}{2} (1 + 2s_k^2) \frac{\partial^2 \mathbf{s}_k}{\partial x^2} \right\}. \quad (24)$$

Расписывая (23) для каждой компоненты вектора магнитного момента $\mathbf{m} = g \mathbf{s}$ и учитывая очевидное равенство $\mathbf{s} \times \mathbf{s} = 0$, можно переписать (17) в линейном приближении для циклических координат

$$\dot{m}^+ = \frac{\gamma A s}{g} i \left\{ -2m^+ + \frac{b^2}{2} (1 + 2s(s+1)) \frac{\partial^2 m^+}{\partial x^2} \right\}.$$

Тогда если искать решение для m^+ в виде монохроматической волны, то получим дисперсионное соотношение для спиновых волн в $S = 1$ антиферромагнетике, отличное от известного [14]:

$$\omega = \frac{\gamma A s}{g} \left\{ -2 + \frac{5}{2} b^2 k^2 \right\}. \quad (25)$$

Таким образом, при малых отклонениях от равновесного антиферромагнитного состояния по системе целых спинов $s = 1$ будут распространяться спиновые возбуждения в виде поперечных спиновых волн с дисперсионной зависимостью, напоминающей дисперсионное соотношение для спиновых волн в $s = 1/2$ ферромагнетике. Однако из соотношения (25) видно, что спектр линейных возбуждений отделен от основного состояния энергетической щелью $\Delta = \hbar \omega = 2 \frac{\hbar \gamma A s}{g}$, что можно связать с существованием минимального предельного значения для волнового вектора $k_{\min} = \sqrt{\frac{4}{5b^2}}$ и соответствующим ограничением на максимальную длину волны.

Если же в выражении (25) сохранить первые не исчезающие нелинейные поправки, то получим систему уравнений для поперечных компонент собственных магнитных моментов:

$$\begin{aligned} \dot{m}_+ &= -i \frac{Ab^2}{\hbar} \left[\frac{\partial^2 m_+}{\partial x^2} + \left(\frac{(m_+)^2}{b^2 g^2} - \frac{4(m_-)^2}{b^2 g^2} \right) m_+ \right], \\ \dot{m}_- &= -\frac{Ab^2}{\hbar} i \left[\frac{\partial^2 m_-}{\partial x^2} + \left(\frac{m_-^2}{b^2 g^2} - \frac{4m_+^2}{b^2 g^2} - \Xi \right) m_- \right], \\ m_{\pm} &= m_x \pm i m_y. \end{aligned} \quad (26)$$

Здесь

$$\Xi = \frac{A}{g^2} b.$$

Это уравнение аналогично уравнению для dark-bright-солитона [15–17]. Решение можно записать в виде

$$\begin{aligned} m_+ &= \sqrt{Aa^3} (i \sin \alpha + \cos \alpha \tanh\{k[x - q(t)]\}), \\ m_- &= \sqrt{\frac{m_0^2 ka}{2}} e^{i\Omega t} e^{ikx \operatorname{tg} \alpha} \operatorname{sech}\{k(x - q(t))\}. \end{aligned} \quad (27)$$

Здесь $1/k$ — длина солитона, $m_z = m_0$, $k = \frac{1}{b} \left\{ \sqrt{\frac{4m_0^2}{g^2} \cos^2 \alpha + \left(\frac{m_0^2}{4g^2}\right)^2} - \frac{m_0^2}{4g^2} \right\}$. Частота прецессии с учетом сдвига: $\Omega = \frac{A}{\hbar} \left(1 - \frac{tg^2 \alpha}{2}\right) (kb)^2 - \Xi$. Координата солитона: $q(t) = q(0) + kt \frac{Aa^2}{\hbar} \operatorname{tg} \alpha$.

Подобные интегрируемые системы известны как уравнения Манакова. Эти системы сохраняют свободную энергию. Но поскольку свободная энергия убывает с ростом скорости солитона, то солитон формально нестабилен (он ускоряет) [18]. Если добавить неоднородный потенциал, то система становится неинтегрируемой и солитон может взаимодействовать нетривиальным образом с окружением. Тем не менее если потенциал взаимодействия изменяется медленно в масштабе длины k^{-1} солитона, то это приводит к согласованному движению (изменению) солитона и потенциала, а свободная энергия является в этом случае адиабатическим инвариантом.

Заключение и выводы

На основании вышеизложенного можно прийти к выводу о том, что:

1) антиферромагнитное состояние цепочки ионов с $s = 1$ формируется на основании того, что при парном взаимодействии наиболее выгодным состоянием является антисимметричное состояние с суммарным спином ближайших соседей $S = 1$. При взаимодействии ближайших блоков, составленных из двух частиц каждый, наиболее выгодным будет также антисимметричное состояние с суммарным спином, равным единице. Таким образом, на ν -й итерации укрупнения при взаимодействии двух кластеров, состоящих из $2^{\nu-1}$ каждый, формируется кластер, содержащий 2^ν частиц, для которого антисимметричное состояние с суммарным спином $\Sigma = 1$ кластера является основным. Таким образом, намагниченность системы, помещенной в магнитное поле, будет определяться проекцией на направление поля именно этого суммарного спина $\Sigma = 1$, так что удельная намагниченность системы, приходящаяся на один ион, будет стремиться к нулю как

$$\frac{M}{N} = \frac{g\Sigma}{N} \rightarrow 0.$$

где g — гиромагнитный фактора иона;

2) с помощью метода ренормгрупп установлено, что в системе устанавливается антиферромагнитный дальний порядок при температуре, приблизительно равной $T^* \approx \frac{A}{0.075k_B}$, связанный с появлением особенности в выражении (12) для энергии основного состояния;

3) линейные возбуждения системы $s = 1$ в форме спиновых волн имеют иную, чем у антиферромагнетиков со спином $1/2$, дисперсионную зависимость частоты от волнового вектора, которая больше напоминает зависимость типа k^2 , имеющую место у ферромагнетиков с

половинными спинами. Однако в отличие от последних спектр возбуждений антиферромагнитной спин-1 цепочки отделен энергетической щелью, предсказываемой еще в работах Халдана;

4) в рассматриваемой цепочке могут распространяться и нелинейные волны, имеющие форму dark-bright-солитона. Это происходит потому, что спиновый гамильтониан содержит биквадратные члены от скалярного произведения спиновых операторов частиц. Солитон формально нестабилен (он ускоряется), но влияние других возбуждений (обычных спиновых волн), как показано в [18], не является причиной диссипации.

Работа выполнена при финансовой поддержке Комитета по науке и высшей школе правительства Санкт-Петербурга (гранты 2010, 2011 гг. для молодых ученых вузов и академических институтов, расположенных на территории Санкт-Петербурга).

Приложение. Вектор основного состояния цепочки спинов

Антисимметричные спиновые состояния для пары частиц известны и могут быть записаны в виде

$$|S = 1, S_z = 1\rangle = \frac{1}{\sqrt{2}} (|\alpha\rangle_1 |\beta\rangle_2 - |\beta\rangle_1 |\alpha\rangle_2) = |A\rangle^{(1)},$$

$$|S = 1, S_z = 0\rangle = \frac{1}{\sqrt{2}} (|\alpha\rangle_1 |\gamma\rangle_2 - |\gamma\rangle_1 |\alpha\rangle_2) = |B\rangle^{(1)},$$

$$|S = 1, S_z = -1\rangle = \frac{1}{\sqrt{2}} (|\gamma\rangle_1 |\beta\rangle_2 - |\beta\rangle_1 |\gamma\rangle_2) = |\Gamma\rangle^{(1)},$$

$$|\alpha\rangle_1 = |s_1 = 1, s_{1z} = 1\rangle_1,$$

$$|\beta\rangle_1 = |s_1 = 1, s_{1z} = 0\rangle_1,$$

$$|\gamma\rangle_1 = |s_1 = 1, s_{1z} = -1\rangle_1. \quad (\text{П1})$$

Здесь нижними индексами 1 и 2 обозначены номера частиц со спинами $s = 1$ и соответствующими проекциями. Векторы $|A\rangle$, $|B\rangle$, $|\Gamma\rangle$ соответствуют состояниям пары частиц с полным спином $S = 1$ и соответствующими проекциями полного спина, верхний индекс ν над этими векторами означает номер итерации и связан с $2^{\nu-1}$ числом частиц, составляющих полный спин. Составим антисимметричные спиновые состояния для цепочки из четырех ($2^{\nu=2}$) частиц, т. е. во второй ($\nu = 2$) итерации

$$\begin{aligned} |A\rangle^{(2)} &= \frac{1}{\sqrt{2}} \left(|A\rangle_{1,2}^{(1)} |B\rangle_{3,4}^{(1)} - |B\rangle_{1,2}^{(1)} |A\rangle_{3,4}^{(1)} \right) \\ &= \frac{1}{\sqrt{2}} \det \begin{bmatrix} |A\rangle_{1,2}^{(1)} & |A\rangle_{3,4}^{(1)} \\ |B\rangle_{1,2}^{(1)} & |B\rangle_{3,4}^{(1)} \end{bmatrix}, \end{aligned}$$

$$\begin{aligned}
|B\rangle^{(2)} &= \frac{1}{\sqrt{2}} \left(|A\rangle_{1,2}^{(1)} |\Gamma\rangle_{3,4}^{(1)} - |\Gamma\rangle_{1,2}^{(1)} |A\rangle_{3,4}^{(1)} \right) \\
&= \frac{1}{\sqrt{2}} \det \begin{bmatrix} |A\rangle_{1,2}^{(1)} & |A\rangle_{3,4}^{(1)} \\ |\Gamma\rangle_{1,2}^{(1)} & |\Gamma\rangle_{3,4}^{(1)} \end{bmatrix}, \\
|\Gamma\rangle^{(2)} &= \frac{1}{\sqrt{2}} \left(|\Gamma\rangle_{1,2}^{(1)} |B\rangle_{3,4}^{(1)} - |B\rangle_{1,2}^{(1)} |\Gamma\rangle_{3,4}^{(1)} \right) \\
&= \frac{1}{\sqrt{2}} \det \begin{bmatrix} |\Gamma\rangle_{1,2}^{(1)} & |\Gamma\rangle_{3,4}^{(1)} \\ |B\rangle_{1,2}^{(1)} & |B\rangle_{3,4}^{(1)} \end{bmatrix}. \quad (\text{П2})
\end{aligned}$$

Продолжая, таким образом, укрупнять систему, на ν -й итерации, в которой учитывается состояние цепочки из 2^ν -частиц, имеем для векторов спинового состояния выражения

$$\begin{aligned}
|A\rangle^{(\nu)} &= \frac{1}{\sqrt{2}} \det \begin{bmatrix} |A\rangle^{(\nu-1)} & |A\rangle^{(\nu-1)} \\ |B\rangle^{(\nu-1)} & |B\rangle^{(\nu-1)} \end{bmatrix}, \\
|B\rangle^{(\nu)} &= \frac{1}{\sqrt{2}} \det \begin{bmatrix} |A\rangle^{(\nu-1)} & |A\rangle^{(\nu-1)} \\ |\Gamma\rangle^{(\nu-1)} & |\Gamma\rangle^{(\nu-1)} \end{bmatrix}, \\
|\Gamma\rangle^{(\nu)} &= \frac{1}{\sqrt{2}} \det \begin{bmatrix} |\Gamma\rangle^{(\nu-1)} & |\Gamma\rangle^{(\nu-1)} \\ |B\rangle^{(\nu-1)} & |B\rangle^{(\nu-1)} \end{bmatrix}. \quad (\text{П3})
\end{aligned}$$

Список литературы

- [1] *Haldane F.D.M.* // Phys. Rev. Lett. 1983. Vol. 50. N 15. P. 1153–1156.
- [2] *Haldane F.D.M.* // Phys. Lett. A. 1983. Vol. 93. P. 464.
- [3] *Albuquerque A.F., Hamer C.J., Oitmaa J.* // Phys. Rev. B. 2009. Vol. 79. N 5. P. 054 412 (1–6).
- [4] *Affleck I., Kennedy T., Lieb E.H., Tasaki H.* // Phys. Rev. Lett. 1987. Vol. 59. N 7. P. 799–802.
- [5] *Schollowöck U., Jolicoeur T., Garel T.* // Phys. Rev. B. 1996. Vol. 53. N 6. P. 3304–3311.
- [6] *Ho Tin-Lun, Yip Lan* // Phys. Rev. Lett. 2000. Vol. 84. N 11. P. 4031–4034.
- [7] *Ho T.-L.* // Phys. Rev. Lett. 1998. Vol. 81. P. 742–745.
- [8] *Ho T.-L., Sung Kit Yip* // Phys. Rev. Lett. 2000. Vol. 84. N 18. P. 4027–4030.
- [9] *Орленко Е.В., Мазец И.Е., Матисов Б.Г.* // ЖТФ. 2003. Т. 73. Вып. 1. С. 30–37.
- [10] *Den Nijs M., Rommelse K.* // Phys. Rev. B. 1989. Vol. 40. N 7. P. 4709–4733.
- [11] *Orlenko E.* // Int. J. Quant. Chem. 2007. Vol. 107. P. 2838–2843.
- [12] *Orlenko E.V., Orlenko F.E., Zegrya G.G.* // Nat. Sci. 2010. Vol. 2. N 11. P. 1287–1291.
- [13] *Maris H.J., Kadanoff L.P.* // Am. J. Phys. 1978. Vol. 46. P. 652–658.
- [14] *Лифшиц Е.М., Питаевский Л.П.* Статистическая физика. Ч. 2. М.: Наука, 1978. 447 с.
- [15] *Busch Th., Anglin J.R.* // Phys. Rev. Lett. 2001. Vol. 87. N 1. P.01 040 (1–4).
- [16] *Trillo S., Wabnitz S., Wright E.M., Stegeman G.I.* // Opt. Lett. 1988. Vol. 13, N 10. P. 871–873.

[17] *Christodoulides D.N.* // Phys. Lett. A. 1988. Vol. 132. N 8. P. 451–452.

[18] *Манаков С.В.* // ЖЭТФ. 1974. Т. 67. № 8. С. 543–555.